

ричной обработке поверхности образца в условиях эксклюзии возникает градиент концентрации плазмы: максимальное значение — у грани с большой  $s_1$  и минимальное — у противоположной с  $s_0$ . Помещение образца с таким неоднородным плазменным слоем в продольное магнитное поле, как и ожидалось, вызывает при определенных условиях развитие винтовых волн.

При  $s_1=s_2=s_0$  происходит практически однородное обеднение (рис. 1, кривая 1). В другом случае, когда  $s_1 > s_2 > s_0$  (рис. 1, кривая 4), распределение также почти однородно, но существенного обеднения теперь не происходит из-за сильной генерации носителей заряда с противоположных боковых граней. В обоих случаях осцилляции не возникают (рис. 2, осциллограммы 1, 4). Можно было бы ожидать, что в этих случаях будут возбуждаться поверхностные волны [6]. Однако при сильном обеднении критерий возбуждения не выполняется из-за сильного амбиполярного сноса возмущений, а во втором случае этому препятствует интенсивная поверхностная рекомбинация. При  $s=10^4$  см/с параметр  $G_s=sa/D_a \approx 3$ , где полутолщина образца  $a=2.5 \cdot 10^{-2}$  см, а коэффициент амбиполярной диффузии  $D_a \approx 10^2$  см<sup>2</sup>/с. Именно этот параметр определяет увеличение порога возбуждения поверхностного осциллистора во втором случае, и в исследуемом интервале электрического и магнитного полей критерий возбуждения не выполняется.

Кривые 2 и 3 соответствуют как раз случаю образования в объеме градиента концентрации плазмы, способствующему появлению осцилляций. Порог возбуждения объемного осциллистора менее чувствителен к состоянию поверхности. Увеличение  $s$  на одной из граней приводит как к увеличению тока через образец, так и к уменьшению порога возбуждения ВН. Это обусловлено увеличением градиента концентрации в объеме.

Теория осциллистора в условиях эксклюзии носителей заряда пока развивается в настоящее время.

#### Список литературы

- [1] Иванов Ю. Л., Рывкин С. М. // ЖТФ. 1958. Т. 28. В. 4. С. 774—775.
- [2] Glicksman M. // Phys. Rev. 1961. V. 124. N 6. P. 1655—1664.
- [3] Larrabee R. D., Steele M. C. // J. Appl. Phys. 1960. V. 31. N 9. P. 1519—1523.
- [4] Pataki G., Elsner G., Nemeth T. // Japan. J. Appl. Phys. 1967. V. 6. N 2. P. 278—279.
- [5] Бигусевич С. А., Малозовский Ю. М., Малютенко В. К. // ФТП. 1986. Т. 20. В. 10. С. 1841—1846.
- [6] Hurwitz C. E., McWhorter A. L. // Phys. Rev. A. 1964. V. 134. N 4. P. 1033—1050.

Институт физики АН УССР  
Киев

Получено 9.01.1989  
Принято к печати 31.01.1989

ФТП, том 23, вып. 6, 1989

#### ОПРЕДЕЛЕНИЕ СКОРОСТИ ПОВЕРХНОСТНОЙ РЕКОМБИНАЦИИ В ТОНКИХ ВАРИЗОННЫХ СТРУКТУРАХ

Коваленко В. Ф., Пека Г. П., Токалин О. А., Химичев А. И.

В «тонких» варизонных структурах, толщины которых  $d$  сравнимы с эффективными длинами переноса неравновесных носителей заряда (ННЗ), возрастает роль поверхностных рекомбинационных потерь ННЗ [1], что вызывает необходимость контроля скорости их поверхностной рекомбинации  $S$ , особенно на узкозонной поверхности структур. Если инжектируемые с широкозонной стороны ННЗ достигают узкозонной поверхности, то в зависимости от соотношения между темпом их поступления к поверхности и скоростью рекомбинации на ней происходит либо обогащение, либо истощение приповерхностной области носителями заряда. Это проявляется в изменениях формы спектров излу-

чения вблизи длинноволнового края [2] и может быть использовано для определения скорости рекомбинации ННЗ на узкозонной поверхности  $S_d$  [2, 3].

В [3] для определения  $S_d$  предложено использовать положение минимума  $h\nu_{\min}$  или точки перегиба  $h\nu_{\text{пер}}$  спектров излучения фотолюминесценции (ФЛ) тонких варизонных структур, которые дают

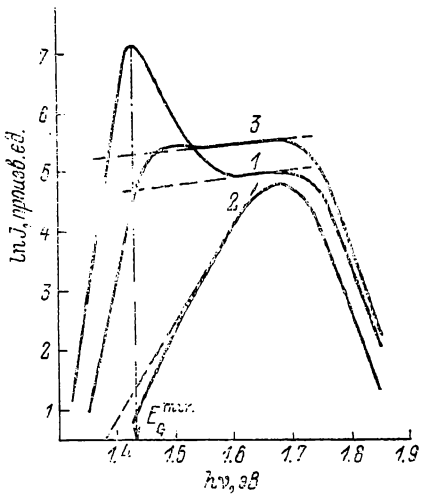
$$\frac{S_d}{D} = \frac{\left(1 + \frac{|\nabla E_G|}{kT} l_+\right)^2 \exp \varepsilon \mp 1}{\left[\left(1 + \frac{|\nabla E_G|}{kT} l_+\right)^m \exp \varepsilon \pm 1\right] l_+}, \quad (1)$$

где

$$\varepsilon = 2 \left( \frac{E_G^{\max} - h\nu^*}{|\nabla E_G|} - d \right) \sqrt{\left( \frac{|\nabla E_G|}{kT} \right)^2 + L^{-2}}, \quad (2)$$

$D$  — коэффициент диффузии ННЗ,  $|\nabla E_G|$  — градиент ширины запрещенной зоны,  $l_+$  — диффузионно-дрейфовая длина переноса ННЗ в ускоряющем поле,  $kT$  — температура в энергетических единицах,  $E_G^{\max}$  — максимальная ширина запрещенной зоны,  $L$  — диффузионная длина переноса ННЗ. В (1), (2) верхний знак,  $m=1$  и  $h\nu^*=h\nu_{\min}$  в случае минимума в спектре; нижний знак,  $m=2$  и  $h\nu^*=h\nu_{\text{пер}}$  в случае спектра без минимума.

В ряде случаев, когда в спектрах излучения отсутствуют ярко выраженные минимумы или точки перегиба, использование метода [3] затруднительно, а неточ-



Спектры излучения ФЛ варизонной структуры  $n\text{-Al}_x\text{Ga}_{1-x}\text{As}$  до (1), после облучения электронами с дозой  $6.25 \cdot 10^{13} \text{ см}^{-2}$  (2) и после отжига при  $T = 310 - 320^\circ\text{C}$  (3), иллюстрирующие предложенный метод определения  $S_d/D$ .

ность регистрации точек  $h\nu^*$ , которые входят в расчетную формулу (1) в экспоненциальном виде, может приводить к большой неопределенности  $S_d$ . Поэтому в настоящем сообщении предлагается другой метод обработки спектров излучения, повышающий точность определения  $S_d$  и расширяющий возможности использования спектров излучения.

Из решения уравнения непрерывности, полученного в [2], и его анализа следует, что при  $S_d/D = |\nabla E_G|/kT + l_+^{-1}$  длинноволновый спад спектра излучения «тонкого» слоя совпадает со спадом спектра «толстого» слоя, который описывается одной экспонентой. Поэтому, экстраполируя экспоненциальный участок спада спектра излучения тонкого слоя к длинноволновой границе  $h\nu = E_G^{\min}$  и измеряя отношение

$$R = \frac{J_R(h\nu = E_G^{\min})}{J_{\text{экстр}}(h\nu = E_G^{\min})},$$

где  $J_R(h\nu = E_G^{\min})$  — значение интенсивности ФЛ на длинноволновой границе реального спектра,  $J_{\text{экстр}}(h\nu = E_G^{\min})$  — экстраполированное значение интенсивности ФЛ, можно найти

$$\frac{S_d}{D} = \frac{1 + (2 - R)\beta kT}{R} \frac{|\nabla E_G|}{kT}, \quad (3)$$

где  $\beta$  — логарифмический наклон экспоненциального участка спада спектра излучения, который легко определяется экспериментально.

Сравнение (1) и (3) показывает, что в последнем случае процедура обработки спектров проще и требует меньшего количества данных, в рабочую формулу не входят экспоненциальные зависимости от величин измеряемых параметров, что улучшает точность определения  $S_d$ .

Описанный метод был использован вместе с [3] при исследовании изменений  $S_d$  тонких варизонных структур  $n\text{-Al}_x\text{Ga}_{1-x}\text{As}$ , выращенных методом жидкокристаллической эпитаксии из ограниченного объема раствора-расплава на подложках  $n\text{-GaAs}$ , в результате их облучения электронами ( $E_e = 1$  МэВ) и отжига ( $T < 360^\circ\text{C}$ ) в атмосфере  $\text{H}_2$ . Характерные спектры излучения ФЛ, возбуждаемой и регистрируемой с широкозонной стороны (использован «обратный» косой шлиф [3]), одной из исследованных структур ( $|\nabla E_G| = 215$  эВ/см) до и после радиационно-термического воздействия показаны на рисунке, результаты обработки спектров по формулам (1)–(3) — в таблице.

Из сравнения полученных данных видно, что для исходного спектра (кривая 1) оба метода определения  $S_d$  дают хорошо согласующиеся значения. Однако

для кривой 2 небольшая неопределенность в положении  $h\nu_{\text{неп}}$  дает большой разброс  $S_d$  при расчете по формулам (1) и (2), полученный по формуле (3) результат является более надежным. Определение  $S_d$  из спектра излучения (кривая 3) методом [3] вообще оказалось невозможным вследствие большой неопределенности в положении точек  $h\nu^*$ , в то время как использование предложенного метода определения  $S_d$  дает однозначный результат.

Таким образом, предложенный здесь простой метод определения  $S_d$  из спектров излучения варизонных структур обладает более высокой точностью и существенно расширяет возможности использования люминесцентных методов контроля их параметров.

#### Список литературы

- [1] Базык А. И., Коваленко В. Ф., Краснов В. А., Пека Г. П. // ЖПС. 1986. Т. 45. В. 2. С. 274–279.
- [2] Коваленко В. Ф., Пека Г. П., Шепель Л. Г. // ФТП. 1978. Т. 12. В. 7. С. 1421–1423.
- [3] Коваленко В. Ф., Пека Г. П. Шепель Л. Г. // ФТП. 1980. Т. 14. В. 7. С. 1350–1354.

Получено 26.01.1988  
Принято к печати 2.02.1989

ФТП, том 23, вып. 6, 1989

#### О «НУЛЕВЫХ ОСЦИЛЛЯЦИЯХ» В СТРУКТУРАХ С ДВУМЕРНЫМ ЭЛЕКТРОННЫМ ГАЗОМ

Копьев И. С., Надточий М. Ю., Устинов В. М.

При исследовании гальваномагнитных свойств селективно легированных гетероструктур  $\text{GaAs}/(\text{Al}_x\text{Ga}_{1-x})\text{As}$  с двумерной проводимостью в квантующих магнитных полях нами, как и в [1], наблюдалась осцилляции напряжения в отсутствие измерительного тока через образец. ПерIOD этих «нулевых осцилляций» (НО) и температурная зависимость совпадали с осцилляциями Шубникова—де-Гааза (ОШГ). НО аддитивно складывались с ОШГ, часто существенно искажая их форму. Амплитуда НО могла быть различной и в некоторых слу-